

## PÖLEVKIVI-KUKERSIIDI OLEMUSEST JA OMADUSTEST

H. TRUU,  
tehniliste teaduste doktor

Põlevkivi suhtes on senini põhiliselt piirdutud keemiliste omaduste uurimisega, millest aga ei piisa põlevkivi termilise töötlemise ja põletamise tehnoloogia väljaarendamiseks kõrgel teaduslik-tehnilisel tasemel.

Käesolevas artiklis esitatakse Eesti NSV Teaduste Akadeemia Energeetika Instituudis 1949. ja 1950. aastal teostatud uurimiste tulemusi põlevkivi struktuuri, tema täkkide kuju ja mõnede füüsikaliste keemiliste omadustega alal<sup>1</sup>.

Kivimite määratlemise ja klassifikatsiooni tunnustena omavad tekstuur ja struktuur suurt tähtsust maavarade petrograafia uurimisel. Samuti ka tahkete põlev-maavarade põlemisel esinevate nähtuse selgitamisel ja koldeprotsessi tehnoloogiasse puutuvate küsimuste lahendamisel. Eelistatud tähtsust omavad nad ebamonoliitse, hajutatud aine koostisega kütuse puhul, nagu seda on põlevkivi. Tahkekütuste tähtsaim koostisos — süsinski — esineb loodusnes kristallunult kas teernandi näol erikaaluga 3,5 või grafiidina erikaaluga 2,5, samuti vormitu süsinskiuna erikaaluga 1,8—1,9. Looduslikud söed ja koks kujutavad endast peeneteralist grafiiti rakkvõrkude jäänustega. Puhta grafiidiga vörreldes suurendab süte ja kokside poorsus viimaste eripinda ja reaktsionivõimet. M. D. Zalesski ja teiste paleobotaanikuute töödest võib järeldada, et settekivimina omab põlevkivi kiltkivilist tekstuuri ja struktuuri<sup>(4)</sup>. Et lahendada põlevkivi ratsionaalseks põletamiseks kui ka termiliseks töötlemiseks vajalikke küsimusi, nagu orgaanilise aine paiknemine anorgaanilises keskkonnas, osakeste suurused ja massipoorsus, teostati 1949. aasta lõpul põlevkivi struktuuri uurimine, milleks kasutati „Küttejõu” kaevandusest võetud proove seitsmest põlevkivikihist ja vahekihtidest. Fotomikroskoopiliseks uurimiseks valmistati nendest kihtidest 90 õhikut kihtide püstlõigetest ja 11 õhikut röhtlõigetest ning 3 õhikut vahekihtidest. Õhikute valmistamiseks kasutatud proovis määratati orgaanilise aine, karbonaatide ja terrigeense aine sisaldus ning teostati kihtide keskmise proovi keemiline analüüs (tabelid 1 ja 2). Siinjuures määratati orgaanilise aine sisaldus (põletamismeetodiga), kütteväärthus pommianalüüs teel ja tuhasisaldus proovi kuumutamisega kuni 1000°-ni.

<sup>1</sup> Need uurimised moodustasid ühe olulise osa autoritöö „Põlevkivi põletamise teoria ja praktika”<sup>(2)</sup>. See töö teostati aastail 1949—1952 NSV Liidu Teaduste Akadeemia korrespondeerivate liikmete M. A. Stõrikovitši ja L. N. Hitrini konsulteerimisel. Töö teostamist põlevkivi struktuuri uurimisel abistas väärthuslike nõuannetega Eesti NSV Teaduste Akadeemia tegevliige A. Luha. Fotomikroskoopilised analüüsides teostati Tartu Riikliku Ülikooli geoloogia katedri laboratooriumi poolt.

Tabel 1

**Orgaanilise aine, karbonaatide ja terrigeense aine sisaldus põlevkivi kuivaines  
(kaaluprotsentides)**

Kiht	Orgaaniline aine	Karbonaadid	Terrigeense aine
A	48,2	30,6	21,2
A <sub>1</sub>	32,4	38,5	29,1
B	52,1	26,5	21,4
C	45,7	24,2	30,1
D	46,2	20,2	34,6
E	30,1	—	—
F	—	—	—
„Roosa paas“	7,4	86,2	6,4

Tabel 2

**Põlevkivi kihite keskmise proovi orgaanilise aine ja tuha sisaldus ning proovi põlemisväärtus (kuivaine kohta)**

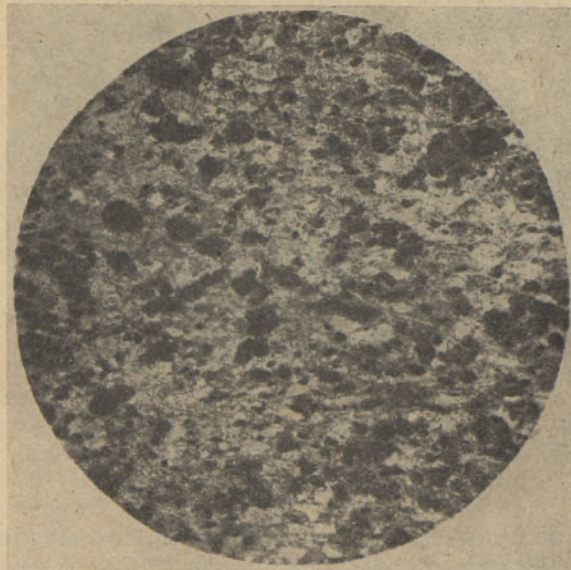
Kiht	Org. ainet %	A %	CO <sub>2</sub> %	A + CO <sub>2</sub> %	Q <sub>p</sub> kcal/kg
A	47,5	39,9	12,6	52,5	4151
A <sub>1</sub>	20,6	54,8	24,6	79,4	1710
B	50,3	35,8	13,9	49,7	4649
C	31,1	49,4	19,5	68,9	2821
D	37,2	51,6	11,2	62,8	3333
E	40,1	44,0	15,9	59,9	3656
F	31,5	49,2	19,3	68,5	2922

Põlevkivi geologilistest proovidest valmistatud õhikute vaatlused polarisatsioonmikroskoobi abil ja fotoülesvõtted töestasid, et selle kütuse aine kujutab endast hajutatud süsteemi, mille keskkonnaks võiks lugeda anorgaanilist osa karbonaatide ja terrigeense aine näol ja faasideks — orgaanilise aine pesakesi. Karbonaatse osa põhimassi moodustavad biogeense tekkega ained (joon. 1). Orgaanilise aine pesakesed omavad pruunikat ja kollakat värvust ning on kihis püstlõikes ovaalse kujuga, kihis röhtlõikes aga enam-vähem ümarad (joon. 2 ja 3). Pesakeste läbimõõt oli 0,02 kuni 0,14 mm, nende sisu moodustasid 10 kuni 30 pruunika värvusega munakujulist terakest läbimõõduga 0,003 kuni 0,006 mm. Munakesi ümbritses kollaka värvusega kattekiht. M. D. Zalesski loeb eelnimetatud pesakesi vetikate jäänusteks. Pesakestevahelise keskkonna moodustab karbonaat- ja terrigeense aine sete. Põlevkivi koostisosade — orgaanilise aine ja karbonaatide või nende mõlemate kõrvaldamise järel säilitab põlevkivitükk oma struktuuri ja kuju, mida võib tähele panna ka põlevkivi põletamisel. Terrigeense aine kujutab endast poorset massi, mis koosneb põhiliselt terakestest suurusega 0,002 kuni 0,006 mm, kuid esineb ka kvartsiterakesi suurusega kuni 0,3 mm. Nimetatud terakeste servad on teravad, mis laseb oletada põlevkivi lademe tekkimist mere põhjas küllaldases, lainetevabas sügavuses. Põlevkivi anorgaanilise osa poorsus ja see, et liivaterakesed põlevkivituhas on väga peened ning teravaservalised, põhjustab selle tuha kerge kaasakan-tavuse gaasi voolus ja selle tagajärjel kütteseadmete metalliliste pindade suure kulumise.

Arvestades seda, et tuletehnilised protsessid kulgevad kõrgetel temperatuuridel (üle 900°) ja et põlevkivi termiline töötlemine õliks ja gaasiks omab suurt tähtsust, pakub kahtlemata suurt huvi põlevkivi struktuuri tundma-



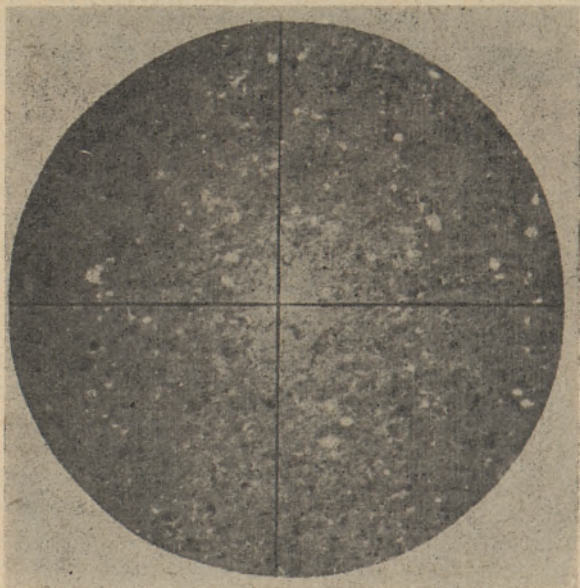
Joon. 1. Ülesvõte pölevkivist.



Joon. 2. Mikroskoopiline ülesvõte pölevkivikihi B püst-löikest (suurendus 90 korda. Tumedad laigud tähis-tavad orgaanilist, heledad — anorgaanilist ainet).



Joon. 3. Mikroskoopiline ülesvõte põlevkivist (suurendus 600 korda).

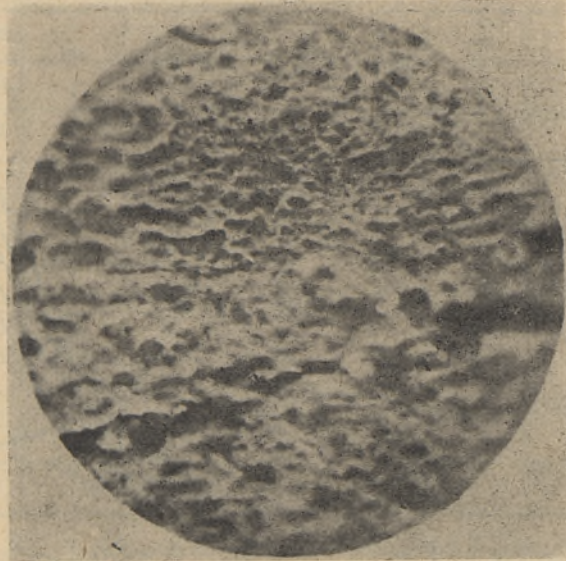


Joon. 4. Mikroskoopiline ülesvõte põlevkivi püstlõikest pärast kuumutamist kuni  $400^{\circ}$ -ni (suurendus 100 korda).

õppimine selle aine termilise töötlemise mitmesugustes staadiumides. Katsetööde tulemused näitasid, et kuumutamine kuni  $200^{\circ}$ -ni ei kutsu esile märgatavat muutust põlevkivi struktuuris. Kuumutamisel temperatuurini  $380-400^{\circ}$  valgub orgaaniline aine laialt ja esialgsete kolooniate asukohti märgistavad vaid kohati esinevad üksikud täpikesed — vetikakehakese jäänused

(joon. 4). Nimetatud asjaolu kinnitab seda, et temperatuur 380—400° vastab põlevkivi püro-bitumineerimise temperatuurile. Kuumutamisel 500°-ni muutuvad põlevkivi pesade asukohad tühjaks, nagu põlevkivi anorgaanilises jäätmeski pärast orgaanilise osa väljapõletamist (joon. 5). Järelikult on põlevkivi orgaaniline osa täies ulatuses lendaine, mis lahkub oma algasukohast temperatuuril kuni 500°. Põlevkivi termilisel töötlemisel madala-või kõrgetemperatuurilises protsessis sadestub teatav osa orgaanilist ainet (ligikaudu 15%) tahke jäägina poorses anorgaanilises „skeletis”, kujundades selle kas põlevkivi poolkoksiks või koksiks.

Ühtlasi võis tähele panna ka seda, et peale orgaanilise aine pesade ei leitud uuritud põlevkivikihtides mingisugust teisekujulist orgaanilise aine



Joon. 5. Mikroskoopiline ülesvõte põlevkivi tuhast (suurendus 90 korda).

paiknemist. Orgaanilise aine pesad esinesid ka vahekihtides, kuid vähemal määral, võrreldes nende hulgaga põlevkivis.

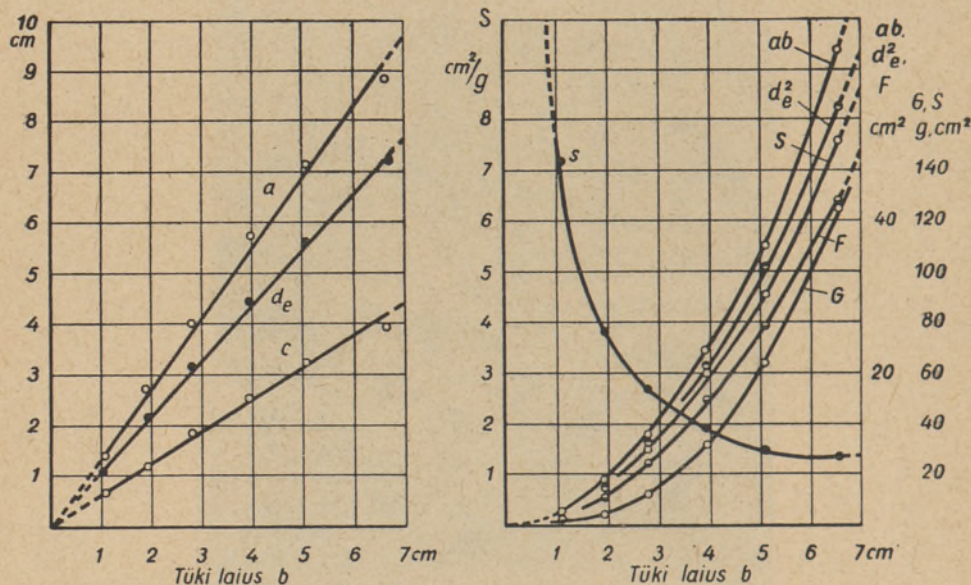
Nimetada tuleks veel seda, et mitte kõikides põlevkivides ei esine orgaaniline aine pesadena. Nii Diallinski leiukoha (Aserbaidžani NSV) põlevkivis, Volga-äärses põlevkivis ja Eesti NSV diktüoneema-kiltkivis paikneb orgaaniline aine peeneteraliselt hajutatuna kogu kivimis<sup>(3)</sup>.

Väga oluliseks küsimuseks tuletehnikas on kütuse põlemise arendamine kiirpõlemiseks, mis eeldab hästikorraldatud koldeprotsessi. Et lahendada seda ülesannet, peame tundma tahke kütuse teiste omaduste kõrval ka tema tükkide kuju, mida iseloomustatakse vastavate geomeetriliste näitajatega. Kütuse osakese kujust sõltuvad aerodünaamilised tegurid põlemisprotsessis, soojusvahetuse toime, küttekihi tihedus ja muud tegurid. Erilist tähtsust omab siinjuures kütuse osakese välis-eripinna suuruse näitaja. Koksitükkide kuju on uurinud J. O. Gabinski ja E. J. Badanova<sup>(1)</sup>. Alljärgnevas toome põlevkivi tükkide kuju uurimise tulemusi.

Kivimi tüki kuju sõltub nähtavasti kivimi omadustest ja tootmisviisist. Põlevkivi on pehme settekivim, mille kõvaduseaste on 2,5—3,0. Murdetugevus ladestuse suunas võrdub keskmiselt 36 kg/cm<sup>2</sup>. Murdetugevus selle lademe püstlöikes on tunduvalt väiksem. Tükid murenevad kergesti ning

sorbeeritud põlevkivi sisaldab kuni 10% peenainet. Põlevkivi on ladestunud kihtidena paksusega 0,08—0,60 m; kihid on erineva koostisega ja vahelduvad aheraine kihtidega.

Käesoleva uurimise ülesandeks oli põlevkivistükkide geomeetrilise kuju iseloomustamine ja valemi koostamine tüki välispinna määramiseks. Sellega võeti 1950. aastal „Kiviöli” kaevanduses toodetud põlevkivist proovid ning eraldati tükid läbimõõduga: 0—10, 10—20, 20—30, 30—40, 40—50, ja 50—65 mm, arvult 100 tükki igast eelnimetatud suurusjärgust. Lähtudes asjaolust, et põlevkivi on põhiliselt röoptahukaline kiltkivi, mõõdeti tükkide suurused: pikkus  $a$ , laius  $b$ , paksus  $c$ , tüki suurima pinna projektsioon  $F$ , välispind  $S$ , maht  $V$ , kaal  $G$  ja määritati näiline erikaal  $\gamma_n$ . Arvutuse teel



Joon. 6. Põlevkivistükkide kuju lineaarseid, ruut- ja kuubilisi iseloomustusi.

määritati projektsioonipinnaga  $F$  pindvördse ringi läbimõõt  $d_e$ , tüki joonmõõtudest  $a$  ja  $b$  kujundatud ristiküliku pindala  $ab$  ja ruumala  $Fc$ . Tükkide geomeetrilise kuju iseloomustamiseks arvutati järgmised näitajad:  $a : b$ ,  $c : b$ ,  $ab : F$ ,  $Fc : V$ , pinnakonstant  $f$ , ruumalakonstant  $k$  ja eripind  $s = \frac{S}{G}$ .

Põlevkivistükkide mõõtmised teostati vastava projektsioonaparaadi abil. Välispinna suuruse määramiseks kaeti põlevkivistükkid tinapaberiga. Tükkide maht määritati hüdrostaatilise kaalumisega, kaal tükkidel suurusega 0—10 ja 10—20 mm mõõdeti kaalumisega analüütilistel kaaludel ja suuremate tükkide kaal — tehnilikel kaaludel täpsusega kuni 0,01 grammi. Kaalumisele eelnes niiskuse määramine põlevkivis ja hüdrostaatiliselle kaalumisele eelnes katmine parafiniga, et vältida tükkide lagunemist vees.

Joonisel 6 on toodud põlevkivistükkide joon-, ruut- ja kuupmõõtmete sõltuvus tüki laiusest  $b$ , mis on määrvava tähtsusega mõõduks tahke aine sõelumisel. Tüki pikkus  $a$ , paksus  $c$  ja suurima ristlõike projektsiooniga pindvördse ringi läbimõõt  $d_e$  kasvavad proporsionaalselt tüki laiusega  $b$ , mis näitab põlevkivistükkide ligikaudset sarnasust suurusjärgus kuni 65 mm. Ligikaudselt konstantseteks võib lugeda ka suhteid  $\frac{ab}{F}$ ,  $\frac{Fc}{V}$  ning  $f$  ja  $K$

väärtusi, sest nende näitajate suuruste ruuthälbed katsetatud põlevkivitükkide keskmistest näitajatest ei ületanud 5,32%, s. o.  $\sigma < 5,32\%$ . Tuginedes eelnimetatud seaduspärasusele levinuma geomeetrilise kujuga põlevkivitükkide kohta suurusega kuni 65 mm ja arvesse võttes eespoolnimetatud katseiselt kindlaksmääratud arvulisi näitajaid, saame põlevkivitükkide geomeetrilise kuju iseloomustamiseks järgmised seosed:

$$\begin{aligned} \text{tüki pikkus } a &= 1,43b; \\ \text{tüki paksus } c &= 0,64b; \end{aligned}$$

$$\text{tüki projektsioonipind } F = \frac{ab}{f_1} = \frac{1,43b^2}{1,42} \approx b^2, \text{ kusjuures } f_1 = \frac{ab}{F} = 1,42;$$

$$\text{pindvördse ringi läbimõõt } d_e = \sqrt{\frac{4F}{\pi}}$$

ehk, kui avaldada  $F$  suuruse  $b$  kaudu,

$$d_e = \sqrt{\frac{4b^2}{\pi}} = 1,13b \text{ ning } d_e^2 = 1,275b^2;$$

$$\text{tüki maht } V = \frac{Fc}{k_1} = \frac{b^2 0,64b}{1,697} = 0,38b^3, \text{ kusjuures } k_1 = \frac{Fc}{V} = 1,697;$$

tüki mahu  $V$  võib avaldada ka teisiti:

$$V = kd_e^3 = 0,265(1,13b)^3 = 0,38b^3,$$

kusjuures mahukonstant  $k = 0,265$ ;

$$\text{tüki välispind } S = fd_e^2 = 2,96(1,13b)^2 = 3,76b^2,$$

kusjuures välispinna konstant  $f = 2,96$ ;

$$\text{tüki eripind } s = \frac{S}{\gamma_n V} = \frac{3,76b^2}{\gamma_n 0,38b^3} = \frac{9,9}{\gamma_n b} \frac{\text{cm}^2}{\text{g}},$$

kusjuures  $\gamma_n$  on näiline erikaal ja arb 9,9 on püsivsuuruseks käesolevas töös uuritud põlevkivitükkide eripinna määramisel.

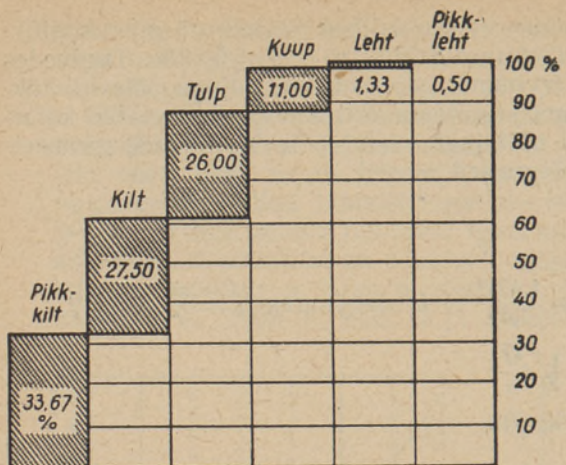
Võrreldes põlevkivitükkide eripinna ja mahuga samade tükkide projektioonipinnaga pindvördse ringi läbimõõduga kera pinda ja mahtu, näeme, et põlevkivitüki proovi keskmine pind on

$$\frac{fd_e^2}{\pi d_e^2} = \frac{f}{\pi} = \frac{2,96}{\pi} = 0,943 \text{ ehk } 94,3\%$$

kera pinnast ja keskmise maht

$$\frac{kd_e^3}{\pi d_e^3} = \frac{k}{\pi} = \frac{0,265}{0,5236} = 0,507 \text{ ehk } 50,7\% \text{ kera mahust.}$$

Järelikult omavad põlevkivitükkid võrreldes vastava läbimõõduga keraga ligikaudu kaks korda suuremat eripinda. Tüki kuju selle omaduse ärakasutamiseks, põlemise intensiivistamiseks ja ühtlustamiseks tuleb põlevaid põlevkivitükkide reaktsioonitsoonis hoida võimalikult pidevas liikumises — näiteks nn. „keevas” kihis, murdjoonelise pinnakujuga restil või hõljuvas olekus. Arviline kokkuvõte proovide liigituse kohta vastavalt tüki kujule näitab, et kiltkuju on põlevkivitükkide põhiliseks vormiks (joon. 7). Teatav kõrvalekaldumine kiltkujust on osaliselt tingitud põlevkivis esineva ja



Joon. 7. Põlevkivitükkide kuju liike. Liikide selgitus: kuubil, kildal ja lehel  $a = (1 - 1,3)b$ ; kui  $c = (1 - 0,7)b$  — kuup,  $(0,7 - 0,3)b$  — kilt,  $0,3b$  — leht. Tulbal, pikk-kildal ja pikk-lehel  $a > 1,3b$ , kusjuures  $a$  — tüki pikkus,  $b$  — laius ja  $c$  — paksus.

tõeline erikaal ületab tunduvalt kivisöe erikaalu ja on ligikaudu 20% võrra suurem antratsiidi erakaalust.

Tabel 3

Põlevkivi proovide füüsikalised ja keemilised omadused

Jrk. nr.	Nimetus	Mõõtühik	Näitaja
1	Ohukuiva aine niiskus (juulikuus)	%	0,86
2	Kuivaine tuhasisaldus	A	41,04
3		CO <sub>2</sub>	13,61
4		A + CO <sub>2</sub>	54,65
5	Orgaanilise aine sisaldus kuivaines	%	45,35
6	Põlemisväärtus kuivainel	kcal/kg	4031
7	Tõeline erikaal		1,64
8	„ „ pärast kuumutamist kuni 400°-ni		1,61
9	Näiline erikaal		1,35
10	„ „ pärast kuumutamist kuni 400°-ni		1,09
11	Poorsus	%	17,55
12	„ „ pärast kuumutamist kuni 400°-ni	%	32,22

Energeetika Instituudi kütuse laboratooriumi poolt aastail 1946—1950 mitmesugustele tarbijatele saadetud põlevkivi analüüside tulemused (158 proovi) tõendasid, et põlevkivi kuivaine kütteväärtus piirides 1100—3700 kcal/kg oli proporsionaalne orgaanilise aine sisaldusega. See kinnitab veel kord seda, et põlevkivi orgaanilise aine kütteväärtus on püsiv suurus, ligikaudu 8400 kcal/kg. Määrates tuhasisalduse põlevkivi kuivaines, võime teha ligikaudseid järelOUSI põlevkivi kütteväärtuse kohta.

Põlevkivi, poolkoksi ja tuha struktuuri ning sama põlevkivi tükide kuju uurimise tulemused ja nende võrdlus teiste uurijate poolt saadud tulemusega lubavad teha järgmisi järelOUSI.

1. Põlevkivi kuivaine kolmest põhikomponendist kaks koosnevad:

a) orgaanilise aine pesadest suurusega 0,020 kuni 0,140 mm, kusjuures

põlevkivist tunduvalt erinevate kõvadusomadustega aheraine sisaldusest. Tüki kuju uurimiseks võetud põlevkiviproovide vastavust standardsele põlevkivile kontrolliti proovide niiskuse, põlemisväärtuse ja tuhasisalduse kindlakstegemise teel (tabel 3). Põlevkivi proovitükkide kuivaine põlemisväärtus ja tuhasisaldus sobisid hästi riiklikus standardis 3293-46 toodud andmetega. Niiskus õhkuival ainel oli vähem kui 1%. Ühtlasi määritati poorsus nii hariliku temperatuuri juures oleva põlevkivi kui ka 400°-ni kuumutatud põlevkivi kohta, mis näitas poorsuse suurenemist 83,5% võrra 400°-ni kuumutatud põlevkivil. Põlevkivi

tõeline erikaal ületab tunduvalt kivisöe erakaalu ja on ligikaudu 20% võrra suurem antratsiidi erakaalust.

sõltuvalt suurusest pesades leidub 10 kuni 30 terakest läbimõõduga 0,003 kuni 0,006 mm, ja b) maistekkelisest (terrigeensest) ainest terasuurusega 0,002 kuni 0,006 mm, mille hulgas esineb ka kvartsiterakesi läbimõõduga kuni 0,300 mm.

2. Põlevkivi anorgaanilist osa võib lihtsusatult vaadata kui settekvivimi hajutatud keskkonda ja orgaanilise aine pesi kui süsteemi faase. Orgaanilise aine kütteväärthus on ümmarguselt 8400 kcal/kg ja hügroskoopne niiskus põlevkivis alla 1%. Orgaanilises aines puudub peaegu täielikult mineraalne ballast, s. o. kütuse primaartuhk. Orgaanilise aine pesi leidub ka vahekihtides, kuid vähemal määral kui põlevkivis.

3. Kuni 500°-ni kuumutatud põlevkivis on orgaaniline aine lendunud oma algasukohast ja vähene osa orgaanilisest ainest (ligikaudu 15%) on koksistunud anorgaanilises massis. Lendained lahkuvad põlevkivist peamiselt ladestuse pikisuuas, tekitades selles suunas struktuuri purunemisi. Tüki välispinnale tekivad käänulised kanalikesed ovaalse ristlõikega, mille läbimõõt on 1—2 mm ja sügavus mõni millimeeter.

Kuumutamisel kuni 400°-ni tõuseb põlevkivitükkide poorsus ligikaudu 18 protsendilt 32 protsendile.

4. Põlevkivitükkide levinumaks ja keskseks kujuks tüki suuruse juures 5 kuni 65 mm on kiltkuju. Suurima ristlõike projektsioonpind vörduub ligikaudu tüki laiuse  $b$  ruuduga, tüki välispind  $S = 3,76b^2$  ja eripind  $s = \frac{S}{\gamma_n V}$ .

Eesti NSV Teaduste Akadeemia  
Energeetika Instituut

Saabus toimetusse  
6. I 1954

## KIRJANDUS

1. Я. О. Габинский и Э. И. Баданова, О природе испытаний механических свойств кокса, «Кокс и химия», № 8, 1936.
2. Х. К. Труу, Теория и практика сжигания горючего сланца. Диссертация на соискание ученой степени доктора технических наук, Москва, ЭНИН АН СССР, 1951, стр. 87.
3. Х. К. Труу, Г. Д. Кесаманлы, Опытное сжигание горючих сланцев Азербайджана в лабораторной двухступенчатой топке Института промышленных проблем АН Эстонской ССР. Известия Академии наук Азербайджанской ССР, № 11, 1952.
4. H. Winkler, Der estländische Brennschiefer, Tallinn, 1930, lisad.

## О ПРИРОДЕ И СВОЙСТВАХ СЛАНЦА-КУКЕРСИТА

Х. К. ТРУУ,  
доктор технических наук

### Резюме

Знание физико-химических характеристик горючего сланца недостаточно для разрешения проблемы рационального использования этого топлива, обладающего многими специфическими свойствами, в особенности для разработки способов его сжигания. Поэтому в данной работе изучалась также и физическая природа свежего и подвергнутого обогреванию сланца-кукерсита (сланец эстонского месторождения) способом микроскопического анализа. Было проведено исследование микрошлифов вертикальных и горизонтальных разрезов всех пластов промышленной пачки сланца. Ввиду существенной роли аэродинамических фак-

торов в процессе горения были исследованы также геометрические характеристики кусков указанного выше сланца размером 0—10, 10—20, 20—30, 30—40, 40—50 и 50—65 мм.

Исследование физической природы сланца-кукерсита подтвердило, что этот сланец ориентировано можно рассматривать как дисперсную систему, где в качестве фазы фигурируют микрогнездышки органического вещества, наподобие остатков водорослей. Означенные микрогнездышки имеют величину 0,02—0,14 мм и, в зависимости от величины, содержат от 10 до 30 микрозернышек размером 0,003—0,006 мм. Средой системы является скелет из терригенного материала и отложения карбонатов. Терригенный материал состоит главным образом из частиц величиной 0,002—0,006 мм, причем отдельные зернышки кварца достигают величины 0,3 мм.

Обследование микрошлифов кусков сланца-кукерсита, подвергнутых обогреванию до 380—400°, показало расплывание органического вещества по порам куска. При температуре 500° наблюдалось почти полное отсутствие органического вещества в его первоначальном местоположении, чем подтверждается также почти полное отсутствие первичной золы в этом топливе. Незначительная доля (порядка 15%) горючей массы «соседала» в порах минерального скелета. Выход летучих веществ происходил главным образом в продольном направлении пласти и сопровождался разрушением структуры и образованием извилистых каналов размером 1—2 мм.

Исследование геометрических характеристик кусков сланца-кукерсита указанной выше величины показало, что куски сланца бывают кубообразной, плитчатой, пластинчатой, столбчатой, удлиненно-плитчатой и удлиненно-пластинчатой формы, причем преобладающей является удлиненно-плитчатая форма куска. Рассматривая размеры кусков по отношению к ширине куска  $b$ , получаем в среднем следующие значения:  $a = -1,43b$ ,  $c = 0,64b$ ,  $d_s = 1,13b$ ,  $F = b^2$ ,  $S = 3,76b^2$ ,  $V = 0,38b^3$ , где  $a$  — длина куска,  $c$  — толщина,  $F$  — максимальная площадь ортогональной проекции куска,  $d_s$  — диаметр круга с той же площадью,  $S$  — внешняя поверхность куска,  $V$  — объем,  $\gamma_k$  — кажущийся удельный вес топлива и  $G$  — вес куска. Удельная поверхность куска  $s = \frac{S}{G}$  определяется формулой

$$s = \frac{9,9}{\gamma_k b} \text{ см}^2/\text{г.}$$

Действительный удельный вес проб сланца согласно результатам опытов был  $\gamma_\theta = 1,64$ , кажущийся удельный вес  $\gamma_k = 1,35$ , пористость — 18%. То же для проб, подвергнутых обогреву до 400°:  $\gamma_\theta = 1,6$ ,  $\gamma_k = 1,1$  и пористость 32%.

Институт энергетики  
Академии наук Эстонской ССР

Поступила в редакцию  
6 I 1954